

92-97
объединенный
институт
ядерных
исследований
дубна

P6-92-97

К.Я.Громов, П.Н.Усманов¹, А.Х.Холматов²,
Т.А.Исламов², Ю.С.Бутабаев², Р.А.Ниязов²

ИССЛЕДОВАНИЯ СВОЙСТВ
ОКТУПОЛЬНЫХ СОСТОЯНИЙ В ^{164}Er

Направлено в журнал "Известия АН СССР, серия физическая"

¹Московский государственный университет им. М.В.Ломоносова

²Ташкентский государственный университет

1992

Исследования свойств октупольных
состояний в ^{164}Er

Продолжен анализ экспериментальных результатов исследований возбужденных уровней ^{164}Er . В рамках феноменологической модели, учитывающей кориолисово смешивание вращательных уровней, приведен расчет полос отрицательной четности ^{164}Er . Найдена новая октупольно-вibrационная полоса с $K^\pi = 1^-$.

Работа выполнена в Лаборатории ядерных проблем ОИЯИ.

Препринт Объединенного института ядерных исследований. Дубна 1992

Перевод авторов

Gromov K.Ya. et al.

P6-92-97

Investigation of Properties of the Octupole
States in ^{164}Er

The further analysis of the experimental results of ^{164}Er excited levels is performed. The calculation of the negative parity bands in the ^{164}Er in the framework of the phenomenological model taking into account Coriolis mixing of rotational levels has been done. A new octupole vibrational band with $K^\pi = 1^-$ is found.

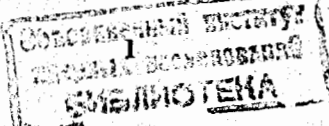
The investigation has been performed at the Laboratory of Nuclear Problems, JINR.

В работах /1-3/ нами проведены прецизионные исследования спектров электронов внутренней конверсии (ЭВК), γ -лучей и $\gamma-\gamma$ -совпадений при распаде ^{164}Tm ($T_{1/2}=2.04$ мин). На основе полученных экспериментальных данных была пересмотрена схема уровней, возбуждающихся в этом распаде: не подтверждены шесть уровней введенных в /4/; вводится новый уровень 1568.7 кэВ; установлены квантовые характеристики ряда уровней ^{164}Er , в том числе показано, что шесть уровней имеют $I^\pi=0^+$. В работе /5/ нами исследовалась свойства ротационных полос состояний положительной четности (основной, β - и γ -вibrationных полос) ядра ^{164}Er , была изучена неадиабатичность в электромагнитных $E2^-$ и $M1^-$ переходах с уровнем γ -полосы.

В настоящей работе анализ экспериментальных данных /3/ продолжен для исследования свойств коллективных состояний отрицательной четности.

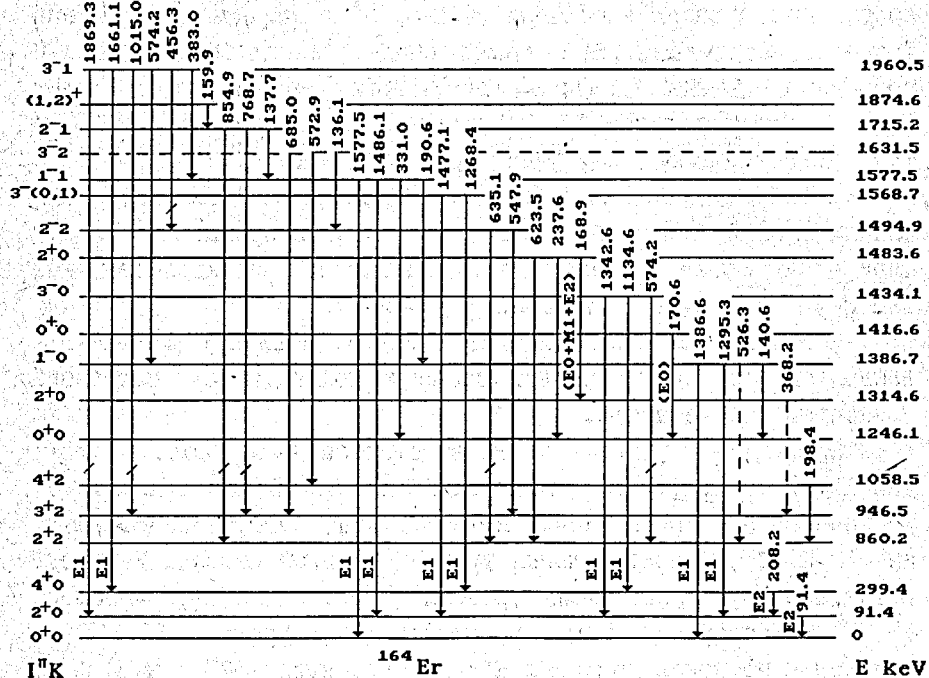
В распаде $^{164}\text{Tm} \rightarrow ^{164}\text{Er}$ заселяются (см. табл.3 в /3/) два $I^\pi=1^-$ уровня с энергиями 1386.7 и 1577.5 кэВ и два $I^\pi=3^-$ уровня - с энергиями 1434.1 и 1568.7 кэВ, которые разряжаются на $I^\pi=0^+, 2^+, 4^+$ вращательные уровни основной полосы. На рис.1 представлен фрагмент схемы уровней ^{164}Er . В работе /7/ полоса с $K^\pi=0^-$ впервые описана вплоть до уровня $I^\pi=11^-$ и предположена новая полоса с $K^\pi=2^-$. Состояния 1577.5 кэВ, 1^- и 1568.7 кэВ, 3^- пока не были включены в состав ротационных полос.

Экспериментальные данные /3-7/ позволяют вычислить отношения приведенных вероятностей $E1$ -переходов с уровняй



отрицательной четности (рис.1) на уровнях полосы основного состояния $R_{IK} = B(E1; IK \rightarrow (I+1)0_{gr}) / B(E1; IK \rightarrow (I-1)0_{gr})$ (см. табл.1). Эти значения R_{IK} сильно отличаются от значений, предсказываемых правилом Алаги. Эти данные свидетельствуют о сильном смешивании октупольных полос в ядре ^{164}Er . Отметим, что в адиабатическом приближении $E1$ -переходы с уровней полосы $K^{\pi}=2^-$ на состояния основной вращательной полосы запрещены.

Мы провели теоретические расчеты в рамках модели /8/, в которой рассматривается кориолисово смешивание состояний октупольных полос с $K^{\pi}=0^-, 1^-, 2^-$ и 3^- . В такой схеме параметрами модели являются: ω_K - головные энергии полос;



$(J_x)_{K,K}$ -матричные элементы, описывающие кориолисово смешивание состояний октупольных полос; J_{0,J_1} -инерционные параметры вращающегося остова, которые определялись из согласия рассчитанного энергетического спектра с экспериментом /6,7/. При этом использовались одни и те же инерционные параметры для всех полос. В рассматриваемом ядре не известны уровни октупольной полосы $K^{\pi}=3^-$. В расчетах головную энергию этой полосы брали произвольно равной $\omega_3=2$ МэВ. В таблице 2 представлены использованные значения параметров модели. На рис.2 даны вычисленные и экспериментальные значения энергий. Структура состояний октупольных полос приведена в таблице 3. Как видно из таблицы 3, состояния $K^{\pi}=0^-, 1^-$ и 2^- полос сильно смешиваются даже при низких спинах, что приводит к сильной неадиабатичности $E1$ -переходов.

Далее, используя мультипольный оператор, как в /9,10/, для определения отношений приведенных вероятностей дипольных электрических переходов из октупольных состояний имеем следующую формулу:

$$R_{IK} = \frac{B(E1; IK \rightarrow (I+1)0_{gr})}{B(E1; IK \rightarrow (I-1)0_{gr})} = \left[\frac{\Phi_{OK}^I - Z \cdot \Phi_{1K}^I \sqrt{\frac{I}{I+1}}}{\Phi_{OK}^I \sqrt{\frac{I}{I+1}} + Z \cdot \Phi_{1K}^I} \right]^2, \quad (2)$$

где Φ_{IK}^I - амплитуды смешивания состояний октупольных полос и $Z = \langle K_f^+ | M(1;-1) | 1^- \rangle / \langle K_f^+ | M(1;0) | 0^- \rangle$ - параметр введенный Кокбачем и Фогелем /11/. Здесь $\langle K_f^+ | M(1; K_f - K_1) | K_1^- \rangle$ - матричный элемент от оператора $E1$ -перехода между внутренними волновыми функциями.

Теоретические значения R_{IK} , вычисленные по формуле (2) в табл.1 сравниваются с экспериментальными, а также с вычисленными по адиабатической формуле Алаги. При значении $Z=0.11(2)$ нам удалось качественно описать все известные экспериментальные значения R_{IK} . Отметим, что параметр Z определялся из лучшего согласия отношений $R_{IK}^{\text{теор.}}$ с экспериментом $R_{IK}^{\text{эксп.}}$ для уровней $K^{\pi}=10^-, 30^-$ /4/.

Таблица 1
Отношения приведенных вероятностей E1-переходов
 R_{IK} из состояний октупольных полос

I^π	R_{I0^-}			R_{I1^-}			R_{I2^-}	
	Экспер.	Теор.	Ала-га	Экспер.	Теор.	Ала-га	Экспер.	Теор.
1 ⁻	1387 кэВ 1.80(18) ^A 1.88(17) ^H	1.62	2.0	1578 кэВ 3.9(6) ^H 5.5 ^C	6.3	0.5	-	-
3 ⁻	1434 кэВ 0.82(12) ^A 1.16(24) ^H	0.91	1.33	>2.8	3.3	0.75	-	1.57
5 ⁻	1553 кэВ 1.8(14) ^B	0.77	1.2	-	2.6	0.83	1.3(7) ^B	1.3
7 ⁻	-	0.71	1.14	-	2.3	0.88	-	1.19
9 ⁻	-	0.67	1.11	-	2.2	0.9	-	1.13
11 ⁻	-	0.65	1.09	-	2.1	0.92	-	1.09

Примечание: А-из работы /4/,
Б-из работы /7/,
С-из работы /6/,
Н-настоящая работа.

Таблица 2

Параметры, использованные в расчетах

ω_0 (МэВ)	ω_1 (МэВ)	ω_2 (МэВ)	ω_3 (МэВ)	$(J_x)_{01}$	$(J_x)_{12}$	$(J_x)_{23}$	J_0 $\hbar^2/\text{МэВ}$	J_1 $\hbar^4/\text{МэВ}^3$
1.375	1.530	1.510	2.0	1.85	1.85	1.5	27.65	756.5

Примечание: ω_k - головные энергии полос;
 $(J_x)_{IK}$ - матричный элемент кориолисова взаимодействия;
 J_0 , J_1 - инерционные параметры вращающегося острова.

Таблица 3
Структура октупольных состояний

I	Ψ_{OK}^I				Ψ_{1K}^I			
	K=0	K=1	K=2	K=3	K=0	K=1	K=2	K=3
1	.9102	.4143	-	-	-.4143	.9102	-	-
2	-	-	-	-	.7651	-.6439	-	-
3	.7048	.6069	.3639	.0488	-.3905	.7594	-.4849	-.1888
4	-	-	-	-	.7614	-.5793	-.2912	-
5	.6284	.6382	.4358	.0890	-.4279	.7367	-.3907	-.3487
6	-	-	-	-	.7516	-.5225	-.4026	-
7	.5926	.6482	.4651	.1110	-.4465	.7085	-.3112	-.4493
8	-	-	-	-	.7411	-.4784	-.4711	-
9	.5716	.6527	.4812	.1253	-.4565	.6811	-.2471	-.5163
10	-	-	-	-	.7317	-.4438	-.5173	-
11	.5575	.6551	.4912	.1356	-.4625	.6568	-.1957	-.5625
12	-	-	-	-	.7236	-.4162	-.5506	-
13	.5473	.6566	.4987	.1436	-.4664	.6359	-.1540	-.5953
	Ψ_{2K}^I				Ψ_{3K}^I			
	2	3	4	5	6	7	8	9
	-	.6439	.7651	-	-	-	-	-
2	-	.2183	.7626	.1434	-.0239	.0850	-.2254	.9703
3	-.5917	-	-	-	-	-	-	-
4	-	.6358	.7557	.1602	-	.1271	-.3071	.9432
5	-.6461	.1125	.7217	.2217	-.0683	.1932	-.3697	.9063
6	-	.6293	.7510	.2001	-	.1978	-.4037	.8932
7	-.6616	.0577	.6995	.2640	-.1084	.2731	-.4444	.8463
8	-	.6247	.7483	.2229	-	.2459	-.4595	.8535
9	-.6671	.0232	.6847	.2927	-.1410	.3310	-.4885	.795
10	-	.6213	.7464	.2385	-	.2803	-.4959	.8219
11	-.6698	-.0011	.6736	.3143	-.1667	.3733	-.5162	.7526
12	-	.6186	.7448	.2500	-	.3060	-.5215	.7965
13	-.6693	-.0186	.6647	.3315	-.1872	.4051	-.5345	.7177

Как видно из табл.1 смешивание состояний октупольных полос приводит к уменьшению значений R_{10} для переходов из $K^\pi=0^-$ и к увеличению R_{11} для переходов из $K^\pi=1^-$ полос по сравнению с R_{1K}^A , вычисленных по правилу Алаги. Это связано с тем, что фазы компонентов Ψ_{0K} и Ψ_{1K} в волновых функциях состояний $K^\pi=0^-$ полосы одинаковы, а в состояниях $K^\pi=1^-$ полосы противоположны (см. табл.3). Присутствие Ψ_{02} и Ψ_{12} компонентов в волновых функциях $K^\pi=2^-$ полосы приводят к E1-переходам на уровня основной полосы. Для E1-переходов из $K^\pi=2^-$ полос известно только одно экспериментальное значение R_{IK} для $I=5$, которое качественно согласуется с $R_{IK}^{\text{ТЕОР.}}$, вычисленным в рамках используемой модели. Состояние 1568.7 кэВ, 3^- пока не удалось включить в состав какой-либо полосы.

Для отношения E1-переходов из состояний с четными спинами полос с $K \neq 0$ имеем:

$$\frac{B(E1; IK^- \rightarrow 10^-_{\text{gr}})}{B(E1; 2K^- \rightarrow 20^-_{\text{gr}})} = \left[\frac{\Psi_{1K}^I}{\Psi_{1K}^2} \right]^2 \quad (3)$$

Отношение (3) не зависит от Ψ_{0K}^I , т.к. в $K^\pi=0^-$ полосе состояния с четными I отсутствуют. В рамках модели для такого отношения имеем величину ≈ 1 , т.е. неадиабатичность в E1-переходах из четных I проявляется не существенно.

Для получения дополнительных экспериментальных данных о распаде $^{164}\text{Tm} \rightarrow ^{164}\text{Er}$ мы воспользовались тем, что в спектрах ЭВК на фотопластиниках в нашей работе /3/ наблюдалось значительное количество неидентифицированных слабых линий ЭВК. В качестве дополнительного аргумента при их идентификации мы использовали согласие энергии γ -кванта с принципом Ритца для известных ранее или вводимых энергетических уровней. Эти новые данные представлены в табл.4, которая дополняет результаты работы /3/. На основе новых данных уточнена и дополнена схема распада ^{164}Tm . В схему распада (см. табл.5) включены дополнительно ряд новых переходов; введены новые уровни - 1495.0 кэВ 2^- , 1631.5 кэВ 3^- , 1715.2 кэВ 2^- и 1960.5 кэВ 3^- . На рис.1 представлена

Таблица 4

Новые γ -переходы при распаде $^{164}\text{Tm} \rightarrow ^{164}\text{Er}$

$E_\gamma (\Delta E_\gamma)$ кэВ	$I_\gamma (\Delta I_\gamma)$	$I_K (\Delta I_K)$	σL	$IK_H^\pi - IK_K^\pi$	$E_{\text{нач.}} - E_{\text{кон.}}$
136.1(2)	-	0.20(7)	-	$3^-2^-2^-2^-$	1631-1494
137.7(2)	-	0.15(6)	-	$2^-1^-1^-1^-$	1715-1577
140.6(2)	-	≈ 0.05	-	$1^-0^-1^-0^-$	1386-1246
159.9(2)	0.4(1)	0.05(2)	E1 (1,2) ⁺ -2 ⁻¹	$(1,2)^+ - 2^-1$	1875-1715
168.9(3)	-	0.15(5)	(E0+M1+E2)	$2^+0^-2^+0^-$	1483-1314
170.6(3)	-	0.20(7)	(E0)	$0^+0^-0^+0^-$	1416-1246
190.6(3)	-	0.07(3)	-	$1^-1^-1^-0^-$	1577-1386
198.4(3)	-	0.05(2)	-	$4^+2^-2^+2^-$	1058-860
237.6(3)	-	0.04(2)	-	$2^+0^-0^+0^-$	1483-1246
318.6(3)	-	≈ 0.003	-	$2^+0^-3^-1^-$	2278-1960
331.0(3)	-	≈ 0.002	-	$1^-1^-0^+0^-$	1577-1246
368.2(3)	-	0.008(3)	-	$2^+0^-3^+2^-$	1314-946
383.0(4)	-	≈ 0.003	-	$3^-1^-1^-1^-$	1960-1577
465.3(4)	-	0.0025(10)	-	$3^-1^-2^-2^-$	1960-1494
484.0(4)	-	0.0015(6)	-	$2^+ - 3^-1^-$	2444-1960
526.3(4)	-	≈ 0.0015	-	$1^-0^-2^+2^-$	1386-860
547.9(4)	-	≈ 0.0015	-	$2^-2^-3^+2^-$	1494-946
572.9(4)	-	≈ 0.0010	-	$3^-2^-4^+2^-$	1631-1058
574.2(4)	-	≈ 0.0010	-	$3^-1^-1^-0^-$	1960-1386
574.2(4)	-	≈ 0.0010	-	$3^-0^-2^+2^-$	1433-860
623.5(4)	-	0.0025(10)	-	$2^+0^-2^+2^-$	1483-860
685.0(4)	-	0.0015(6)	-	$3^-2^-3^+2^-$	1631-946
862.7(4)	-	0.0010(5)	-	-3^-1^-	2823-1960

Таблица 5

Схема распада $^{164}\text{Tm} \rightarrow ^{164}\text{Er}$

разрядка этих уровней. Экспериментальный анализ показал, что для уровня 1960.5 кэВ, 3^-_{IK} $R_{\text{эксп.}} > 2.8$ согласуется с $R_{31}^{\text{теор.}} = 3.3$ (см. табл.1), что дает возможность приписать этому уровню $K^\pi = 1^-$. Характер разрядки и близость энергии к расчетным значениям позволяет также приписать уровню 1715.2 кэВ $K^\pi = 1^-$.

Результаты расчетов и дополнительный анализ экспериментальных данных /3/ позволяют сделать следующие выводы:

- предположение сделанное в работе /7/ относительно $K^\pi = 2^-$ полосы, подтверждается расчетами проведенными в данной работе, и не противоречат экспериментальным данным из распада ^{164}Tm ;
- высказано предположение о существовании новой октупольной вращательной полосы с $K^\pi = 1^-$ в ^{164}Er , уровни 1^- , 2^- и 3^- с энергиями 1577.5 кэВ, 1715.2 кэВ и 1960.5 кэВ относятся к этой полосе. Уровни 1715.2 кэВ, 2^- и 1960.5 кэВ, 3^- экспериментально установлены впервые;
- отклонение R_{IK} от адиабатического правила Алаги для переходов из состояния отрицательной четности связано с сильным смешиванием уровней $K^\pi = 0^-, 1^-, 2^-$ и 3^- октупольных полос.

Авторы выражают признательность проф. Ш.Бриансон и И.Адаму за полезные обсуждения и ценные замечания.

$E_{\text{ур}} (\Delta E_{\text{ур}})$ кэВ	I_K^{π}	$\varepsilon + \beta^+$, % расп.	$lgft$	Разряжающие переходы, кэВ	
				1	2
				3	4
				5	
91.4(3)	2^+0	24.4	5.2	91	
299.43(5)	4^+0			208	
860.20(5)	2^+2			561;769;860	
946.5(1)	3^+2			86;647;855	
1058.8(2)	4^+2			198;759;968	
1246.08(6)	0^+0	1.56	5.8	385;1155;1246	
1314.56(5)	2^+0	1.12	5.9	68;368;455;1015;1223;1314	
1386.67(5)	1^-0	0.92	6.0	140;526;1295;1386	
1416.6(1)	0^+0	0.85	6.0	170;1325;1417	
1434.1(1)	3^-0			574;1135;1343	
1483.6(1)	2^+0	0.26	6.5	169;237;623;1184;1392;1483	
1494.9	2^-2			548;635	
1568.7(2)	$3^- (0,1)$			1268;1477	
1577.5(1)	1^-1	0.17	6.6	190;331;1486;1578	
1631.5	3^-2			136;573;685	
1702.8(6)	0^+0	1.56	5.6	218;315;388;456;842;1610;1701	
1715.2	2^-1			138;769;855;1624	
1765.82(6)	0^+0	1.50	5.6	451;520;906;1674;1766	
1788.4(1)	2^+0	0.77	5.3	474;729;1489;1697;1788	
1833.31(1)	2^+0	0.51	6.0	973;1534;1742;1833	
1841.6(3)	(0^+0)			358;1750	
1861.4(3)	(0^+0)			378;547	
1874.6(3)	$(1,2)^+$	0.23	6.3	160;1015;1783	
1911.2(1)	2^+0	0.48	6.0	525;667;1819.2	
1953.9(1)	2^+0	0.60	5.9	1093;1655;1862	
1960.5(3)	3^-1			383;465;574;1015;1661;1869	
2025.7(2)	2^+	0.94	5.7	780;1165;1936	
2032.1(2)				786	
2035.4				1943;2036	
2069.4(2)	2^+	0.18	6.4	355;635;1978	

Таблица 5 (окончание)

1	2	3	4	5
2168.1(2)				142;1869
2172.8(1)	0 ⁺ 0	1.52	5.4	298;339;407;595;689;858;926;1312 2081;2172
2254(3)	2,3,4			1955
2278.0(1)	2 ⁺ 0	0.32	6.1	319;795;845;964;1418;2186;2278
2444.4(1)	2 ⁺	0.57	5.7	729;875;1057;1584
2541.1(2)		0.14	6.3	666;776
2823.4(1)		1.0	6.2	753;798;863;1877
3028.8(3)		0.19	5.7	1460;1714;1969
3409.3(2)	2,3,4			1841;1974;3110
3629.3(7)	2 ⁺	0.46	4.5	1351;2383;2570
3768.8(2)		0.25	4.3	1894;1935;2522

Примечание: "—" - новые данные

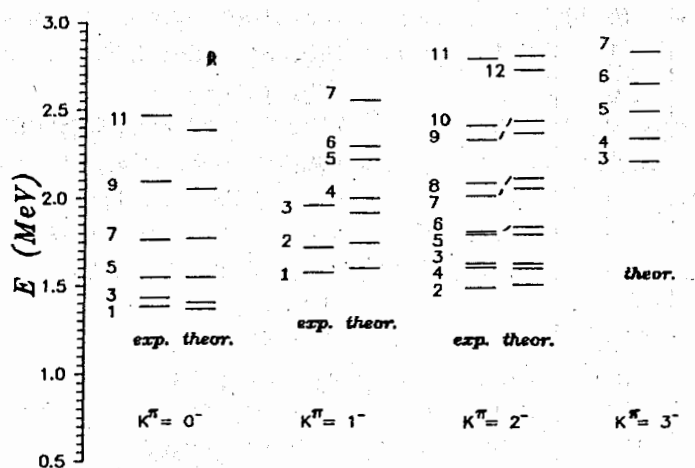


Рис.2. Сравнение экспериментальных и теоретических энергий октупольных состояний.

ЛИТЕРАТУРА

- Абдуразаков А.А., Холматов А.Х., Тангабаев А.А. и др. Спектры электронов внутренней конверсии нейтронодефицитных радиоактивных нуклидов в области A=131–172, Ташкент, "Узбекистан", 1991.
- Адам И., Гонс З., Громов К.Я., Исламов Т.А., Кононенко Г.А., Холматов А.Х. Краткие сообщения ОИЯИ, №10, 1985, Дубна, с.69–76.
- Адам И., Гонс З., Громов К.Я., Исламов Т.А., Кононенко Г.А., Холматов А.Х. Изв.АН СССР, сер.физ., т.54, №9, 1990 с.1802.
- De Boer F.W.N. et al. Nucl.Phys.1971, v.A169, p.577.
- Громов К.Я., Исламов Т.А., Усманов П.Н. Изв. АН СССР, сер.физ., 1989, т.53, с.858.
- Бондаренко В.А., Григорьев Е.П., Прокофьев П.Т. Изв.АН СССР, сер.физ., 1981, т.45, с.2141.
- Fields C.A. et al. Nucl.Phys., 1984, v.A422, p.215.
- Бриансон Ш., Михайлов И.Н., Усманов П.Н. Тезисы докладов 42-совещания по ядерной спектроскопии и структуре атомного ядра, Апрель, 1992, Алма-Ата.
- Михайлов И.Н., Сафаров Р.Х., Усманов П.Н., Бриансон Ш. ЯФ, т.38, 1983, с.177.
- Kulessa R. et al. Z.Phys.A – Atomic Nuclei 334, 1989, p.299.
- Kocbach L., Vogel P. Phys Lett. 32B, 434, 1970.

Рукопись поступила в издательский отдел
5 марта 1992 года.